

Eingabe: Farbmimetrisches Reflexions-System NCS11

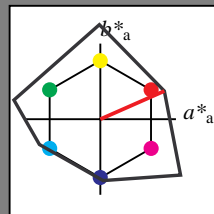
für Buntton $h^* = lab^*h = 24/360 = 0.066$

LAB*LCH, LAB*NCH

D65: Buntton R

LCH*Ma: 47 92 24

olv*Ma: 1.0 0.0 0.0



NCS11; adaptierte CIELAB-Daten

| | $L^*=L_a^*$ | a_a^* | b_a^* | $C_{ab,a}^*$ | $h_{ab,a}^*$ |
|--------------------|-------------|---------|---------|--------------|--------------|
| R _{Ma} | 47.15 | 84.64 | 37.25 | 92.48 | 24 |
| J _{Ma} | 91.37 | -1.27 | 125.03 | 125.03 | 91 |
| G _{Ma} | 63.07 | -114.28 | 25.35 | 117.06 | 167 |
| G50B _{Ma} | 59.47 | -80.6 | -33.45 | 87.28 | 203 |
| B _{Ma} | 49.01 | 3.65 | -81.19 | 81.28 | 273 |
| B50R _{Ma} | 44.06 | 106.09 | -73.93 | 129.32 | 325 |
| N _{Ma} | 10.99 | 0.0 | 0.0 | 0.0 | 0 |
| W _{Ma} | 95.41 | 0.0 | 0.0 | 0.0 | 0 |
| R _{CIE} | 39.92 | 58.69 | 27.98 | 65.01 | 25 |
| J _{CIE} | 81.26 | -2.9 | 71.56 | 71.62 | 92 |
| G _{CIE} | 52.23 | -42.45 | 13.59 | 44.59 | 162 |
| B _{CIE} | 30.57 | 1.35 | -46.48 | 46.51 | 272 |

CIELAB-Helligkeit L^*

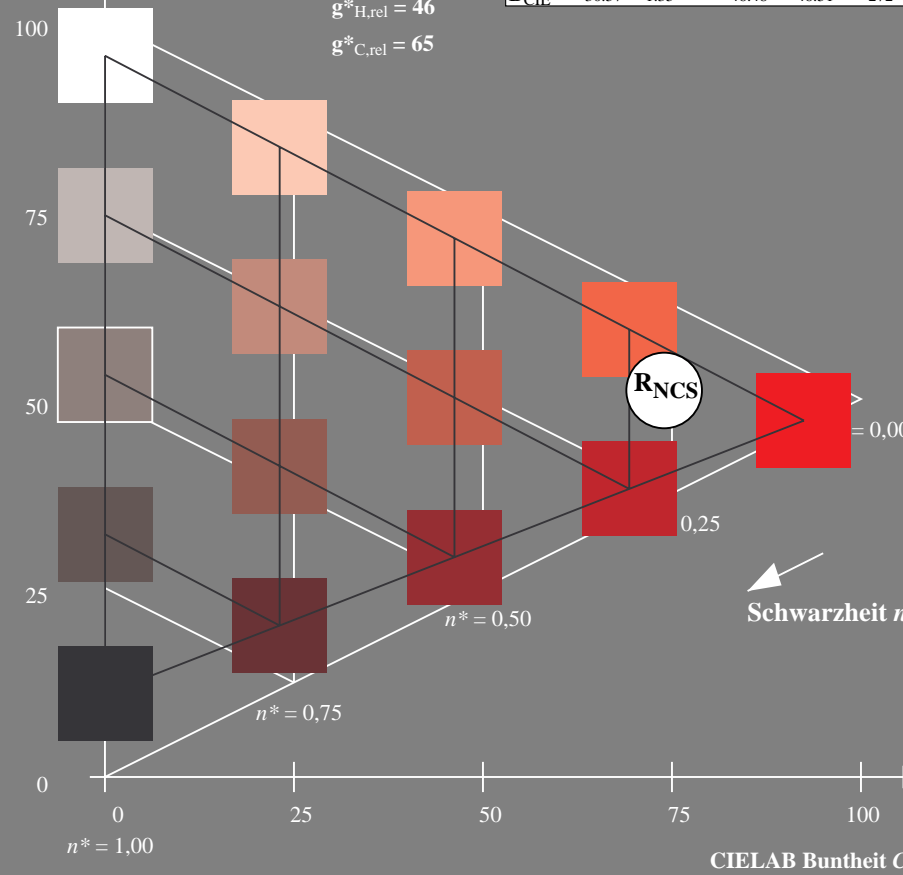
%Umfang

$u_{rel}^* = 149$

%Regularität

$g_{H,rel}^* = 46$

$g_{C,rel}^* = 65$



UG380-7, 5 stufige Reihen für konstanten CIELAB Buntton 24/360 = 0.066 (links)

Ausgabe: Farbmimetrisches Reflexions-System MRS18

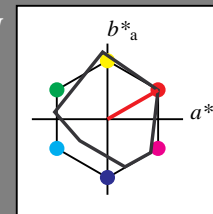
für Buntton $h^* = lab^*h = 30/360 = 0.083$

LAB*LCH, LAB*NCH

D65: Buntton R

LCH*Ma: 50 77 30

olv*Ma: 1.0 0.0 0.0



MRS18; adaptierte CIELAB-Daten

| | $L^*=L_a^*$ | a_a^* | b_a^* | $C_{ab,a}^*$ | $h_{ab,a}^*$ |
|--------------------|-------------|---------|---------|--------------|--------------|
| R _{Ma} | 49.63 | 66.96 | 38.37 | 77.18 | 30 |
| J _{Ma} | 90.7 | -6.36 | 88.75 | 88.98 | 94 |
| G _{Ma} | 52.11 | -69.73 | 9.44 | 70.37 | 172 |
| G50B _{Ma} | 45.03 | -36.57 | -28.47 | 46.36 | 218 |
| B _{Ma} | 36.65 | 23.19 | -63.05 | 67.18 | 290 |
| B50R _{Ma} | 34.94 | 57.17 | -44.26 | 72.31 | 322 |
| N _{Ma} | 18.01 | 0.0 | 0.0 | 0.0 | 0 |
| W _{Ma} | 95.41 | 0.0 | 0.0 | 0.0 | 0 |
| R _{CIE} | 39.92 | 58.66 | 26.98 | 64.56 | 25 |
| J _{CIE} | 81.26 | -2.17 | 67.76 | 67.79 | 92 |
| G _{CIE} | 52.23 | -42.26 | 11.75 | 43.87 | 164 |
| B _{CIE} | 30.57 | 1.15 | -46.84 | 46.87 | 271 |

CIELAB-Helligkeit L^*

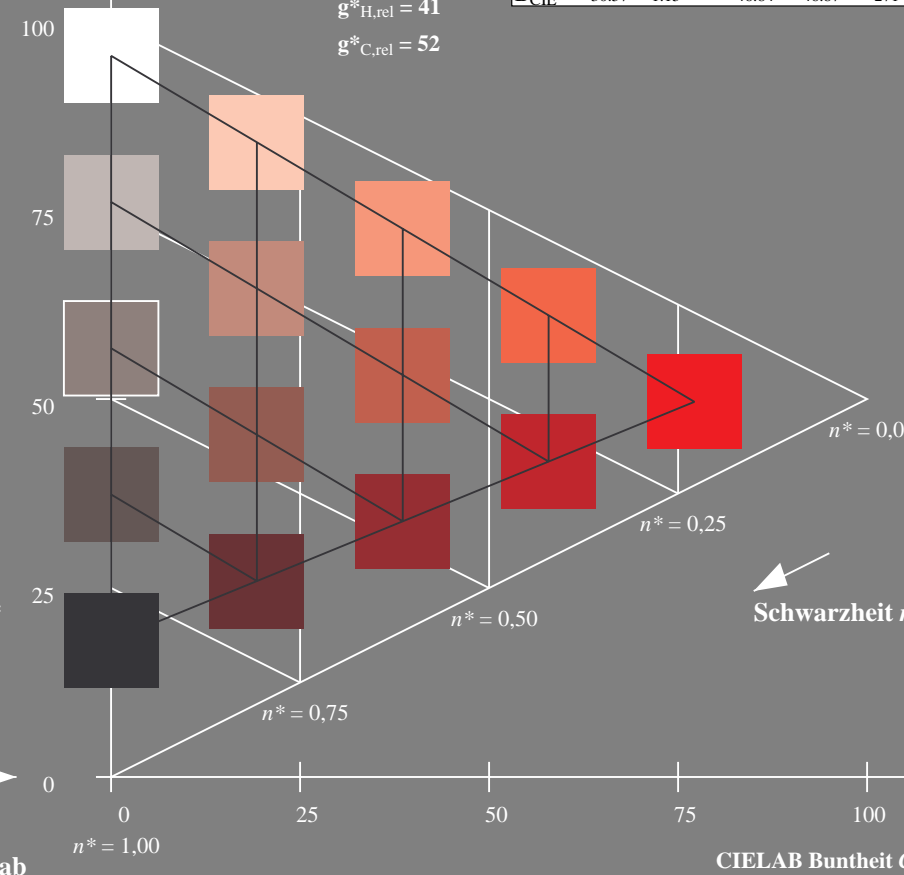
%Umfang

$u_{rel}^* = 91$

%Regularität

$g_{H,rel}^* = 41$

$g_{C,rel}^* = 52$



5 stufige Reihen für konstanten CIELAB Buntton 30/360 = 0.083 (rechts)

BAM-Prüfvorlage UG38; Farbmimetrische Systeme NCS11a & MRS18

D65: Koordinaten-Systeme von 5stufigen Farbreihen für 10 Bunttonen

Input: cmy0* setcmykcolor

Output: no change compared to input

Eingabe: Farbmimetrisches Reflexions-System NCS11

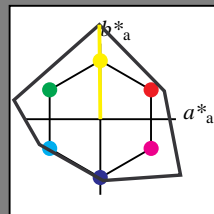
für Buntton $h^* = lab^*h = 91/360 = 0.252$

LAB*LCH, LAB*NCH

D65: Buntton J

LCH*Ma: 91 125 91

olv*Ma: 1.0 1.0 0.0



NCS11; adaptierte CIELAB-Daten

| | $L^*=L^*_a$ | a^*_a | b^*_a | $C^*_{ab,a}$ | $h^*_{ab,a}$ |
|--------------------|-------------|---------|---------|--------------|--------------|
| R _{Ma} | 47.15 | 84.64 | 37.25 | 92.48 | 24 |
| J _{Ma} | 91.37 | -1.27 | 125.03 | 125.03 | 91 |
| G _{Ma} | 63.07 | -114.28 | 25.35 | 117.06 | 167 |
| G50B _{Ma} | 59.47 | -80.6 | -33.45 | 87.28 | 203 |
| B _{Ma} | 49.01 | 3.65 | -81.19 | 81.28 | 273 |
| B50R _{Ma} | 44.06 | 106.09 | -73.93 | 129.32 | 325 |
| N _{Ma} | 10.99 | 0.0 | 0.0 | 0.0 | 0 |
| W _{Ma} | 95.41 | 0.0 | 0.0 | 0.0 | 0 |
| R _{CIE} | 39.92 | 58.69 | 27.98 | 65.01 | 25 |
| J _{CIE} | 81.26 | -2.9 | 71.56 | 71.62 | 92 |
| G _{CIE} | 52.23 | -42.45 | 13.59 | 44.59 | 162 |
| B _{CIE} | 30.57 | 1.35 | -46.48 | 46.51 | 272 |

CIELAB-Helligkeit L^*

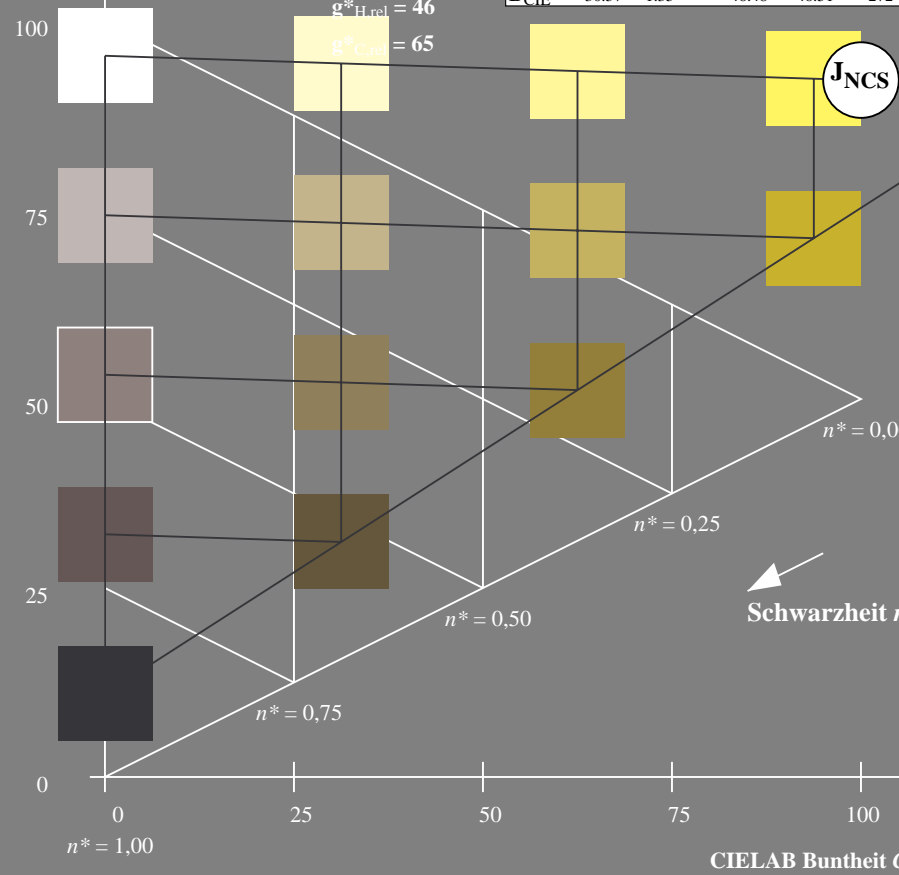
%Umfang

$u^*_{rel} = 149$

%Regularität

$g^*_{H,rel} = 46$

$g^*_{C,rel} = 65$



UG380-7, 5 stufige Reihen für konstanten CIELAB Buntton 91/360 = 0.252 (links)

Ausgabe: Farbmimetrisches Reflexions-System MRS18

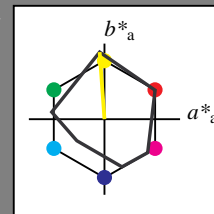
für Buntton $h^* = lab^*h = 94/360 = 0.261$

LAB*LCH, LAB*NCH

D65: Buntton J

LCH*Ma: 91 89 94

olv*Ma: 1.0 1.0 0.0



MRS18; adaptierte CIELAB-Daten

| | $L^*=L^*_a$ | a^*_a | b^*_a | $C^*_{ab,a}$ | $h^*_{ab,a}$ |
|--------------------|-------------|---------|---------|--------------|--------------|
| R _{Ma} | 49.63 | 66.96 | 38.37 | 77.18 | 30 |
| J _{Ma} | 90.7 | -6.36 | 88.75 | 88.98 | 94 |
| G _{Ma} | 52.11 | -69.73 | 9.44 | 70.37 | 172 |
| G50B _{Ma} | 45.03 | -36.57 | -28.47 | 46.36 | 218 |
| B _{Ma} | 36.65 | 23.19 | -63.05 | 67.18 | 290 |
| B50R _{Ma} | 34.94 | 57.17 | -44.26 | 72.31 | 322 |
| N _{Ma} | 18.01 | 0.0 | 0.0 | 0.0 | 0 |
| W _{Ma} | 95.41 | 0.0 | 0.0 | 0.0 | 0 |
| R _{CIE} | 39.92 | 58.66 | 26.98 | 64.56 | 25 |
| J _{CIE} | 81.26 | -2.17 | 67.76 | 67.79 | 92 |
| G _{CIE} | 52.23 | -42.26 | 11.75 | 43.87 | 164 |
| B _{CIE} | 30.57 | 1.15 | -46.84 | 46.87 | 271 |

CIELAB-Helligkeit L^*

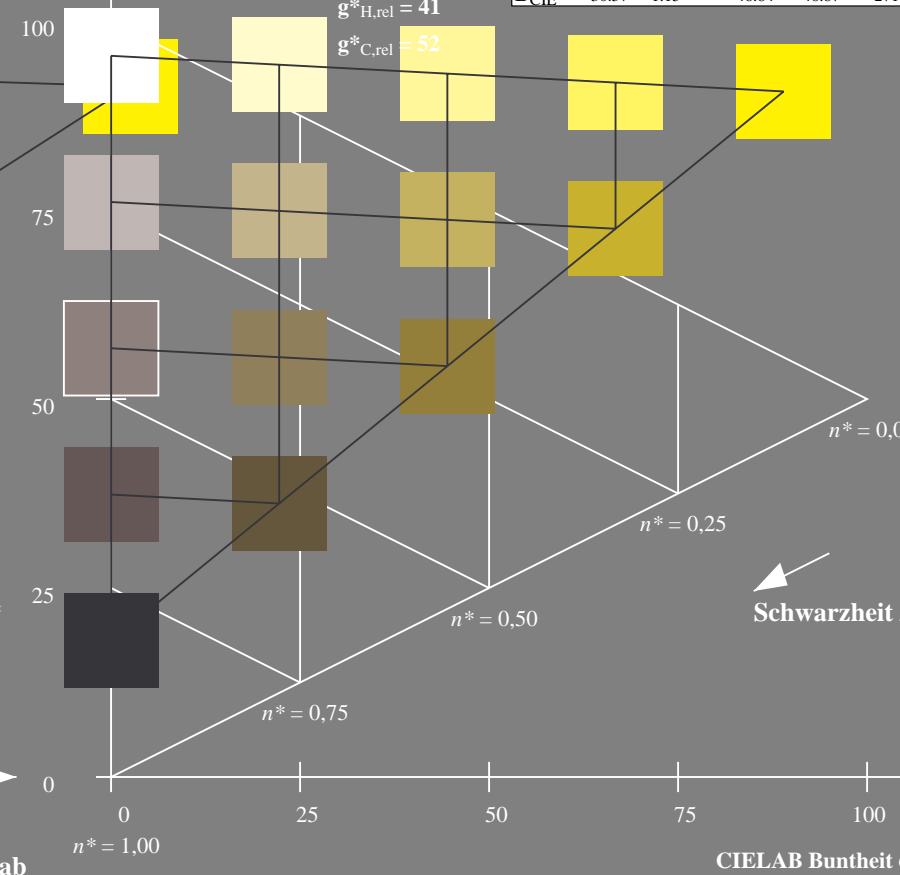
%Umfang

$u^*_{rel} = 91$

%Regularität

$g^*_{H,rel} = 41$

$g^*_{C,rel} = 52$



5 stufige Reihen für konstanten CIELAB Buntton 94/360 = 0.261 (rechts)

BAM-Prüfvorlage UG38; Farbmimetrische Systeme NCS11a & MRS18

D65: Koordinaten-Systeme von 5stufigen Farbreihen für 10 Bunttonen
Input: cmy0* setcmykcolor
Output: no change compared to input

Eingabe: Farbmimetrisches Reflexions-System NCS11

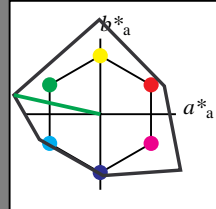
für Buntton $h^* = lab^*h = 167/360 = 0.465$

LAB*LCH, LAB*NCH

D65: Buntton G

LCH*Ma: 63 117 167

olv*Ma: 0.0 1.0 0.0



NCS11; adaptierte CIELAB-Daten

| | $L^*=L^*_a$ | a^*_a | b^*_a | $C^*_{ab,a}$ | $h^*_{ab,a}$ |
|--------------------|-------------|---------|---------|--------------|--------------|
| R _{Ma} | 47.15 | 84.64 | 37.25 | 92.48 | 24 |
| J _{Ma} | 91.37 | -1.27 | 125.03 | 125.03 | 91 |
| G _{Ma} | 63.07 | -114.28 | 25.35 | 117.06 | 167 |
| G50B _{Ma} | 59.47 | -80.6 | -33.45 | 87.28 | 203 |
| B _{Ma} | 49.01 | 3.65 | -81.19 | 81.28 | 273 |
| B50R _{Ma} | 44.06 | 106.09 | -73.93 | 129.32 | 325 |
| N _{Ma} | 10.99 | 0.0 | 0.0 | 0.0 | 0 |
| W _{Ma} | 95.41 | 0.0 | 0.0 | 0.0 | 0 |
| R _{CIE} | 39.92 | 58.69 | 27.98 | 65.01 | 25 |
| J _{CIE} | 81.26 | -2.9 | 71.56 | 71.62 | 92 |
| G _{CIE} | 52.23 | -42.45 | 13.59 | 44.59 | 162 |
| B _{CIE} | 30.57 | 1.35 | -46.48 | 46.51 | 272 |

CIELAB-Helligkeit L^*

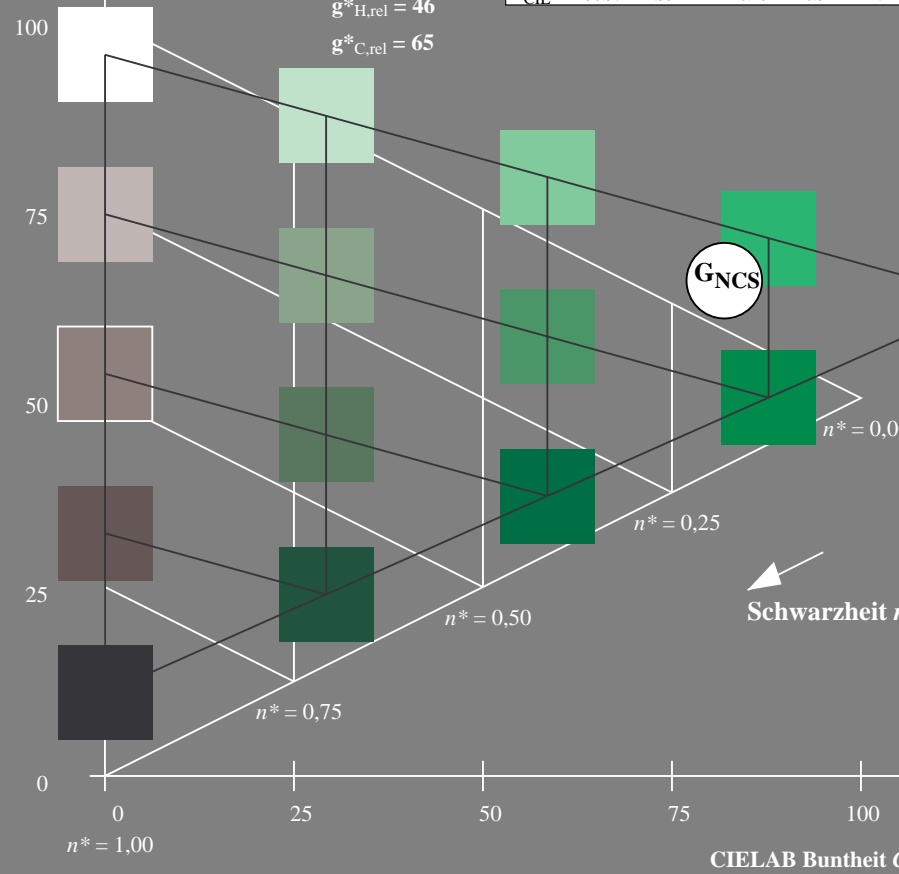
%Umfang

$u^*_{rel} = 149$

%Regularität

$g^*_{H,rel} = 46$

$g^*_{C,rel} = 65$



UG380-7, 5 stufige Reihen für konstanten CIELAB Buntton $167/360 = 0.465$ (links)

Ausgabe: Farbmimetrisches Reflexions-System MRS18

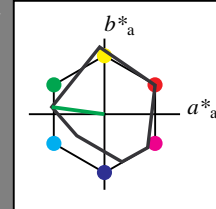
für Buntton $h^* = lab^*h = 172/360 = 0.479$

LAB*LCH, LAB*NCH

D65: Buntton G

LCH*Ma: 52 70 172

olv*Ma: 0.0 1.0 0.0



MRS18; adaptierte CIELAB-Daten

| | $L^*=L^*_a$ | a^*_a | b^*_a | $C^*_{ab,a}$ | $h^*_{ab,a}$ |
|--------------------|-------------|---------|---------|--------------|--------------|
| R _{Ma} | 49.63 | 66.96 | 38.37 | 77.18 | 30 |
| J _{Ma} | 90.7 | -6.36 | 88.75 | 88.98 | 94 |
| G _{Ma} | 52.11 | -69.73 | 9.44 | 70.37 | 172 |
| G50B _{Ma} | 45.03 | -36.57 | -28.47 | 46.36 | 218 |
| B _{Ma} | 36.65 | 23.19 | -63.05 | 67.18 | 290 |
| B50R _{Ma} | 34.94 | 57.17 | -44.26 | 72.31 | 322 |
| N _{Ma} | 18.01 | 0.0 | 0.0 | 0.0 | 0 |
| W _{Ma} | 95.41 | 0.0 | 0.0 | 0.0 | 0 |
| R _{CIE} | 39.92 | 58.66 | 26.98 | 64.56 | 25 |
| J _{CIE} | 81.26 | -2.17 | 67.76 | 67.79 | 92 |
| G _{CIE} | 52.23 | -42.26 | 11.75 | 43.87 | 164 |
| B _{CIE} | 30.57 | 1.15 | -46.84 | 46.87 | 271 |

CIELAB-Helligkeit L^*

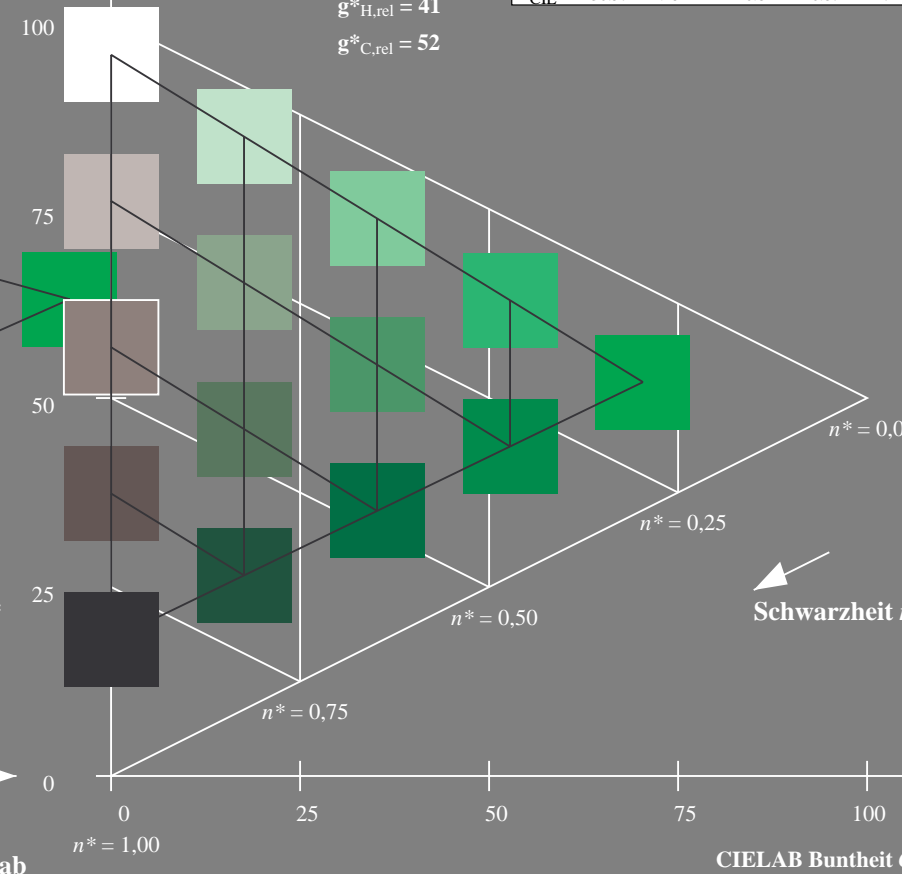
%Umfang

$u^*_{rel} = 91$

%Regularität

$g^*_{H,rel} = 41$

$g^*_{C,rel} = 52$



5 stufige Reihen für konstanten CIELAB Buntton $172/360 = 0.479$ (rechts)

BAM-Prüfvorlage UG38; Farbmimetrische Systeme NCS11a & MRS18

D65: Koordinaten-Systeme von 5stufigen Farbreihen für 10 Bunttonen

Input: $cmY^* setcmykcolor$

Output: no change compared to input

Eingabe: Farbmimetrisches Reflexions-System NCS11

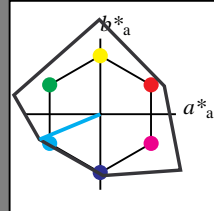
für Buntton $h^* = lab^*h = 203/360 = 0.563$

LAB*LCH, LAB*NCH

D65: Buntton G50B

LCH*Ma: 59 87 203

olv*Ma: 0.0 1.0 1.0



NCS11; adaptierte CIELAB-Daten

| | $L^*=L_a^*$ | a_a^* | b_a^* | $C_{ab,a}^*$ | $h_{ab,a}^*$ |
|--------------------|-------------|---------|---------|--------------|--------------|
| R _{Ma} | 47.15 | 84.64 | 37.25 | 92.48 | 24 |
| J _{Ma} | 91.37 | -1.27 | 125.03 | 125.03 | 91 |
| G _{Ma} | 63.07 | -114.28 | 25.35 | 117.06 | 167 |
| G50B _{Ma} | 59.47 | -80.6 | -33.45 | 87.28 | 203 |
| B _{Ma} | 49.01 | 3.65 | -81.19 | 81.28 | 273 |
| B50R _{Ma} | 44.06 | 106.09 | -73.93 | 129.32 | 325 |
| N _{Ma} | 10.99 | 0.0 | 0.0 | 0.0 | 0 |
| W _{Ma} | 95.41 | 0.0 | 0.0 | 0.0 | 0 |
| R _{CIE} | 39.92 | 58.69 | 27.98 | 65.01 | 25 |
| J _{CIE} | 81.26 | -2.9 | 71.56 | 71.62 | 92 |
| G _{CIE} | 52.23 | -42.45 | 13.59 | 44.59 | 162 |
| B _{CIE} | 30.57 | 1.35 | -46.48 | 46.51 | 272 |

CIELAB-Helligkeit L^*

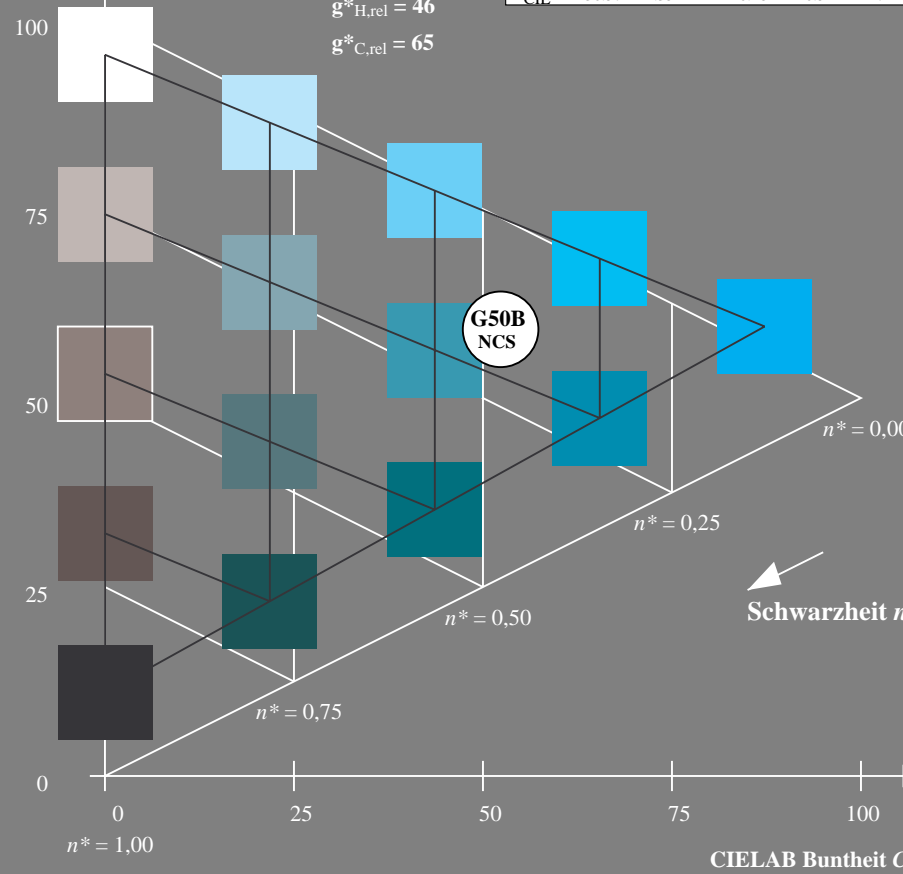
%Umfang

$u_{rel}^* = 149$

%Regularität

$g_{H,rel}^* = 46$

$g_{C,rel}^* = 65$



UG380-7, 5 stufige Reihen für konstanten CIELAB Buntton 203/360 = 0.563 (links)

Ausgabe: Farbmimetrisches Reflexions-System MRS18

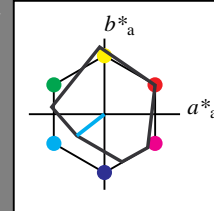
für Buntton $h^* = lab^*h = 218/360 = 0.605$

LAB*LCH, LAB*NCH

D65: Buntton G50B

LCH*Ma: 45 46 218

olv*Ma: 0.0 1.0 1.0



MRS18; adaptierte CIELAB-Daten

| | $L^*=L_a^*$ | a_a^* | b_a^* | $C_{ab,a}^*$ | $h_{ab,a}^*$ |
|--------------------|-------------|---------|---------|--------------|--------------|
| R _{Ma} | 49.63 | 66.96 | 38.37 | 77.18 | 30 |
| J _{Ma} | 90.7 | -6.36 | 88.75 | 88.98 | 94 |
| G _{Ma} | 52.11 | -69.73 | 9.44 | 70.37 | 172 |
| G50B _{Ma} | 45.03 | -36.57 | -28.47 | 46.36 | 218 |
| B _{Ma} | 36.65 | 23.19 | -63.05 | 67.18 | 290 |
| B50R _{Ma} | 34.94 | 57.17 | -44.26 | 72.31 | 322 |
| N _{Ma} | 18.01 | 0.0 | 0.0 | 0.0 | 0 |
| W _{Ma} | 95.41 | 0.0 | 0.0 | 0.0 | 0 |
| R _{CIE} | 39.92 | 58.66 | 26.98 | 64.56 | 25 |
| J _{CIE} | 81.26 | -2.17 | 67.76 | 67.79 | 92 |
| G _{CIE} | 52.23 | -42.26 | 11.75 | 43.87 | 164 |
| B _{CIE} | 30.57 | 1.15 | -46.84 | 46.87 | 271 |

CIELAB-Helligkeit L^*

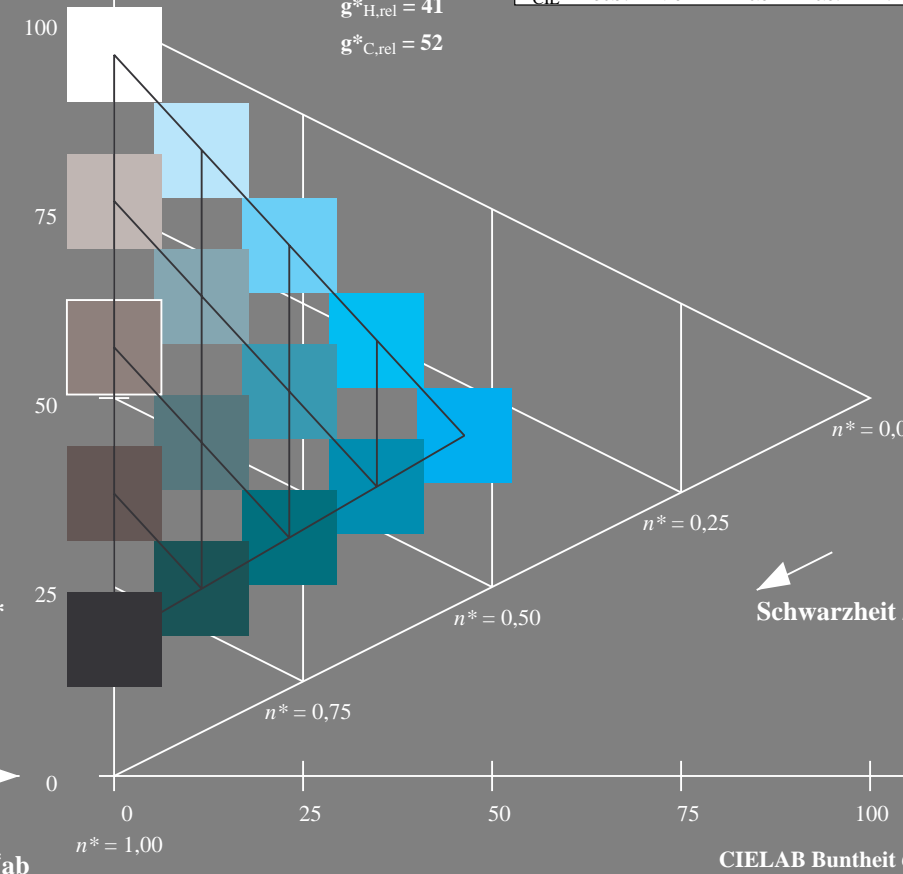
%Umfang

$u_{rel}^* = 91$

%Regularität

$g_{H,rel}^* = 41$

$g_{C,rel}^* = 52$



5 stufige Reihen für konstanten CIELAB Buntton 218/360 = 0.605 (rechts)

BAM-Prüfvorlage UG38; Farbmimetrische Systeme NCS11a & MRS18

D65: Koordinaten-Systeme von 5stufigen Farbreihen für 10 Bunttonen

Input: *cmY0* setcmykcolor*

Output: *no change compared to input*

Eingabe: Farbmimetrisches Reflexions-System NCS11

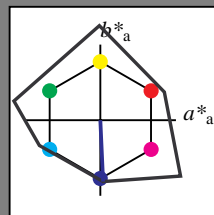
für Buntton $h^* = lab^*h = 273/360 = 0.757$

LAB*LCH, LAB*NCH

D65: Buntton B

LCH*Ma: 49 81 273

olv*Ma: 0.0 0.0 1.0



NCS11; adaptierte CIELAB-Daten

| | $L^*=L_a^*$ | a_a^* | b_a^* | $C_{ab,a}^*$ | $h_{ab,a}^*$ |
|--------------------|-------------|---------|---------|--------------|--------------|
| R _{Ma} | 47.15 | 84.64 | 37.25 | 92.48 | 24 |
| J _{Ma} | 91.37 | -1.27 | 125.03 | 125.03 | 91 |
| G _{Ma} | 63.07 | -114.28 | 25.35 | 117.06 | 167 |
| G50B _{Ma} | 59.47 | -80.6 | -33.45 | 87.28 | 203 |
| B _{Ma} | 49.01 | 3.65 | -81.19 | 81.28 | 273 |
| B50R _{Ma} | 44.06 | 106.09 | -73.93 | 129.32 | 325 |
| N _{Ma} | 10.99 | 0.0 | 0.0 | 0.0 | 0 |
| W _{Ma} | 95.41 | 0.0 | 0.0 | 0.0 | 0 |
| R _{CIE} | 39.92 | 58.69 | 27.98 | 65.01 | 25 |
| J _{CIE} | 81.26 | -2.9 | 71.56 | 71.62 | 92 |
| G _{CIE} | 52.23 | -42.45 | 13.59 | 44.59 | 162 |
| B _{CIE} | 30.57 | 1.35 | -46.48 | 46.51 | 272 |

CIELAB-Helligkeit L^*

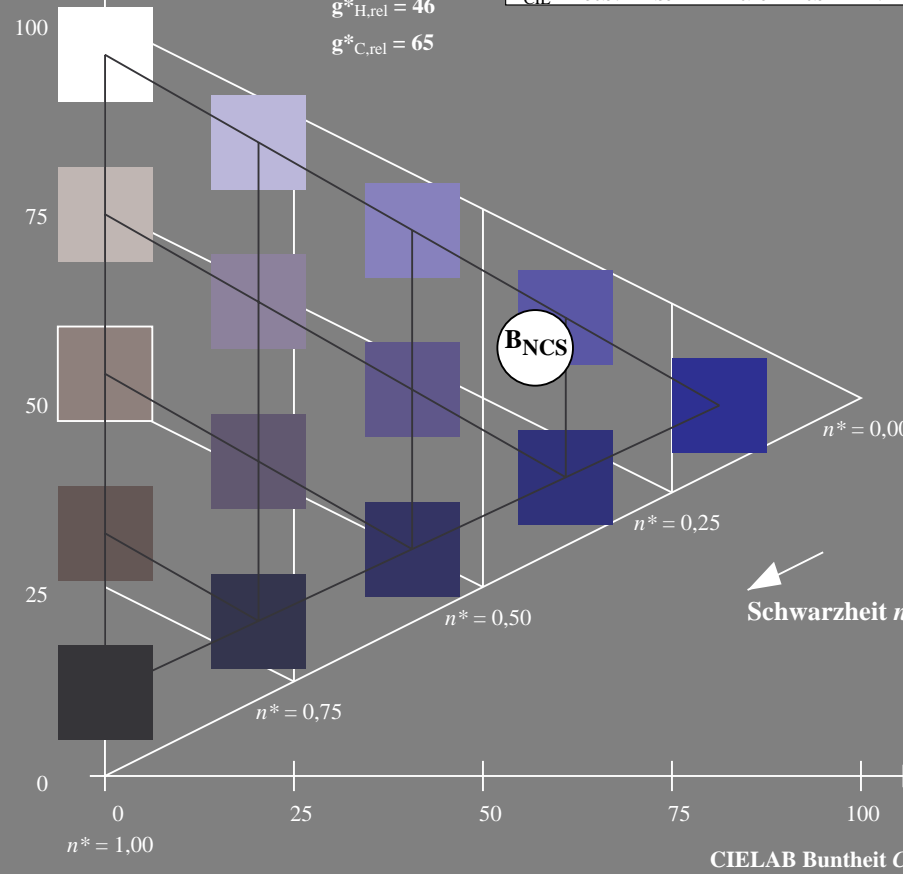
%Umfang

$u_{rel}^* = 149$

%Regularität

$g_{H,rel}^* = 46$

$g_{C,rel}^* = 65$



UG380-7, 5 stufige Reihen für konstanten CIELAB Buntton 273/360 = 0.757 (links)

Ausgabe: Farbmimetrisches Reflexions-System MRS18

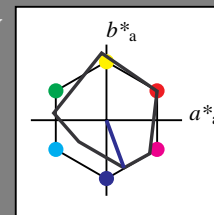
für Buntton $h^* = lab^*h = 290/360 = 0.806$

LAB*LCH, LAB*NCH

D65: Buntton B

LCH*Ma: 37 67 290

olv*Ma: 0.0 0.0 1.0



MRS18; adaptierte CIELAB-Daten

| | $L^*=L_a^*$ | a_a^* | b_a^* | $C_{ab,a}^*$ | $h_{ab,a}^*$ |
|--------------------|-------------|---------|---------|--------------|--------------|
| R _{Ma} | 49.63 | 66.96 | 38.37 | 77.18 | 30 |
| J _{Ma} | 90.7 | -6.36 | 88.75 | 88.98 | 94 |
| G _{Ma} | 52.11 | -69.73 | 9.44 | 70.37 | 172 |
| G50B _{Ma} | 45.03 | -36.57 | -28.47 | 46.36 | 218 |
| B _{Ma} | 36.65 | 23.19 | -63.05 | 67.18 | 290 |
| B50R _{Ma} | 34.94 | 57.17 | -44.26 | 72.31 | 322 |
| N _{Ma} | 18.01 | 0.0 | 0.0 | 0.0 | 0 |
| W _{Ma} | 95.41 | 0.0 | 0.0 | 0.0 | 0 |
| R _{CIE} | 39.92 | 58.66 | 26.98 | 64.56 | 25 |
| J _{CIE} | 81.26 | -2.17 | 67.76 | 67.79 | 92 |
| G _{CIE} | 52.23 | -42.26 | 11.75 | 43.87 | 164 |
| B _{CIE} | 30.57 | 1.15 | -46.84 | 46.87 | 271 |

CIELAB-Helligkeit L^*

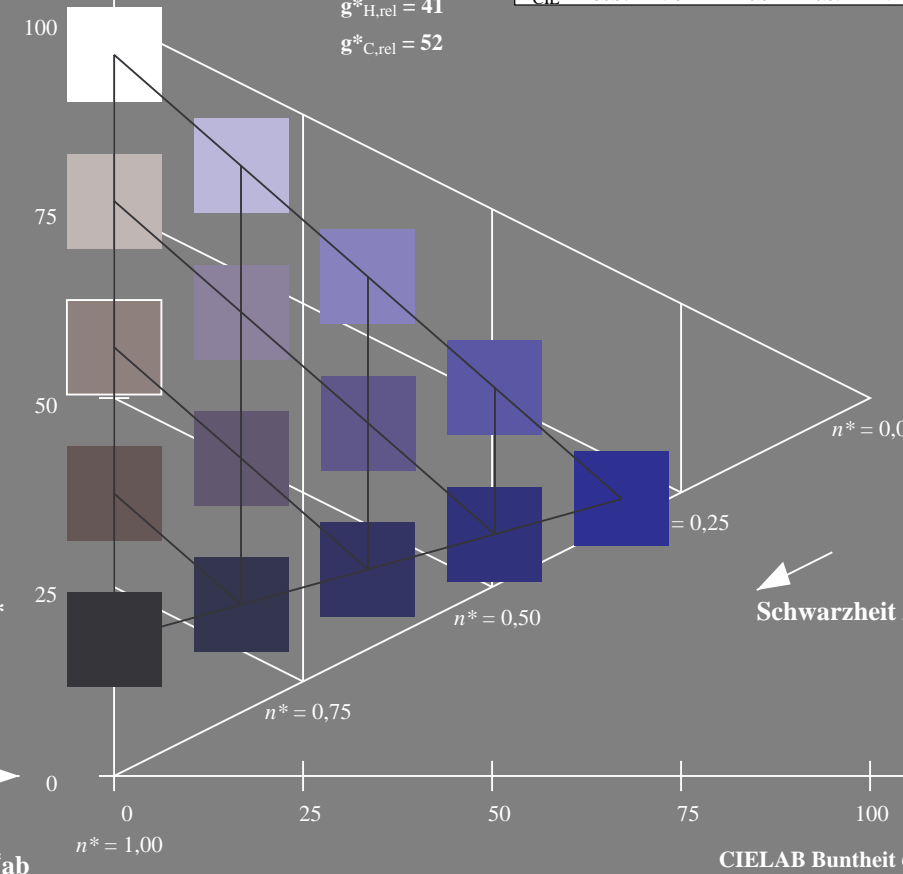
%Umfang

$u_{rel}^* = 91$

%Regularität

$g_{H,rel}^* = 41$

$g_{C,rel}^* = 52$



5 stufige Reihen für konstanten CIELAB Buntton 290/360 = 0.806 (rechts)

BAM-Prüfvorlage UG38; Farbmimetrische Systeme NCS11a & MRS18

D65: Koordinaten-Systeme von 5stufigen Farbreihen für 10 Bunttonen

Input: cmy0* setcmykcolor

Output: no change compared to input

Eingabe: Farbmimetrisches Reflexions-System NCS11

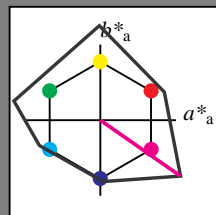
für Buntton $h^* = lab^*h = 325/360 = 0.903$

LAB*LCH, LAB*NCH

D65: Buntton B50R

LCH*Ma: 44 129 325

olv*Ma: 1.0 0.0 1.0



NCS11; adaptierte CIELAB-Daten

| | $L^*=L^*_a$ | a^*_a | b^*_a | $C^*_{ab,a}$ | $h^*_{ab,a}$ |
|--------------------|-------------|---------|---------|--------------|--------------|
| R _{Ma} | 47.15 | 84.64 | 37.25 | 92.48 | 24 |
| J _{Ma} | 91.37 | -1.27 | 125.03 | 125.03 | 91 |
| G _{Ma} | 63.07 | -114.28 | 25.35 | 117.06 | 167 |
| G50B _{Ma} | 59.47 | -80.6 | -33.45 | 87.28 | 203 |
| B _{Ma} | 49.01 | 3.65 | -81.19 | 81.28 | 273 |
| B50R _{Ma} | 44.06 | 106.09 | -73.93 | 129.32 | 325 |
| N _{Ma} | 10.99 | 0.0 | 0.0 | 0.0 | 0 |
| W _{Ma} | 95.41 | 0.0 | 0.0 | 0.0 | 0 |
| R _{CIE} | 39.92 | 58.69 | 27.98 | 65.01 | 25 |
| J _{CIE} | 81.26 | -2.9 | 71.56 | 71.62 | 92 |
| G _{CIE} | 52.23 | -42.45 | 13.59 | 44.59 | 162 |
| B _{CIE} | 30.57 | 1.35 | -46.48 | 46.51 | 272 |

CIELAB-Helligkeit L^*

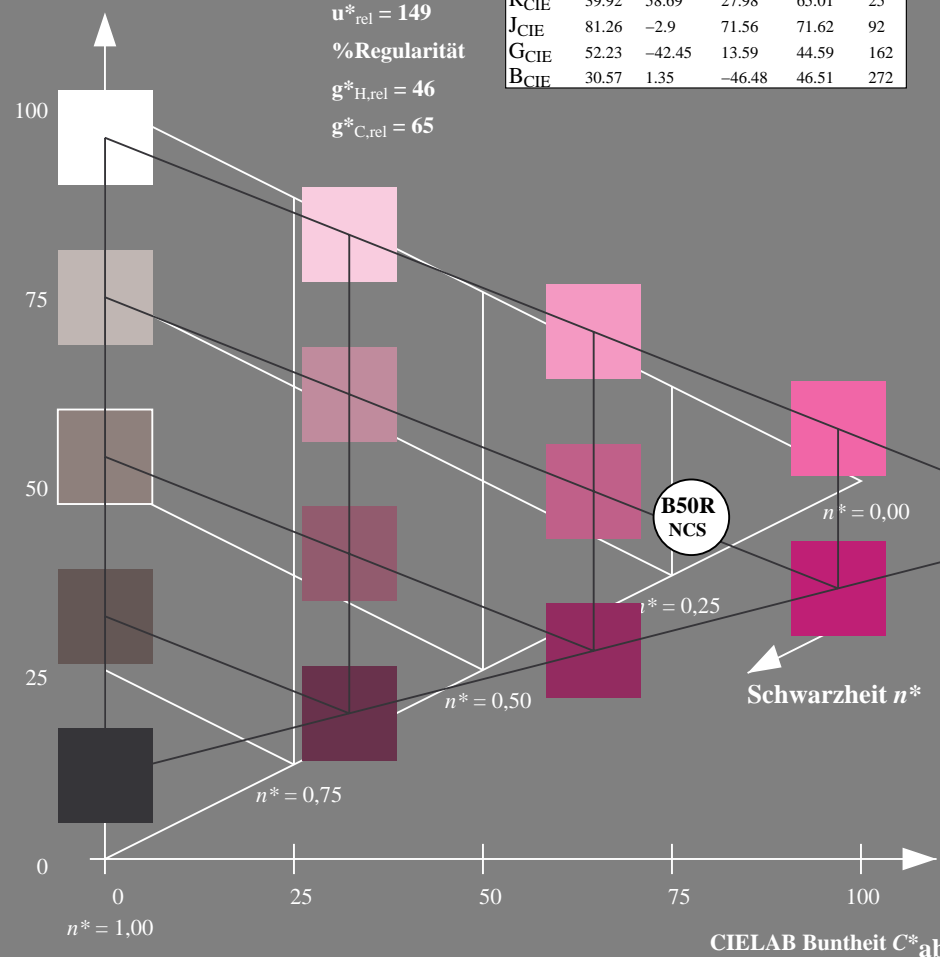
%Umfang

$u^*_{rel} = 149$

%Regularität

$g^*_{H,rel} = 46$

$g^*_{C,rel} = 65$



UG380-7, 5 stufige Reihen für konstanten CIELAB Buntton 325/360 = 0.903 (links)

BAM-Prüfvorlage UG38; Farbmimetrik-Systeme NCS11a & MRS18

D65: Koordinaten-Systeme von 5stufigen Farbreihen für 10 Bunttonen

Ausgabe: Farbmimetrisches Reflexions-System MRS18

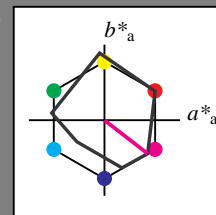
für Buntton $h^* = lab^*h = 322/360 = 0.895$

LAB*LCH, LAB*NCH

D65: Buntton B50R

LCH*Ma: 35 72 322

olv*Ma: 1.0 0.0 1.0



MRS18; adaptierte CIELAB-Daten

| | $L^*=L^*_a$ | a^*_a | b^*_a | $C^*_{ab,a}$ | $h^*_{ab,a}$ |
|--------------------|-------------|---------|---------|--------------|--------------|
| R _{Ma} | 49.63 | 66.96 | 38.37 | 77.18 | 30 |
| J _{Ma} | 90.7 | -6.36 | 88.75 | 88.98 | 94 |
| G _{Ma} | 52.11 | -69.73 | 9.44 | 70.37 | 172 |
| G50B _{Ma} | 45.03 | -36.57 | -28.47 | 46.36 | 218 |
| B _{Ma} | 36.65 | 23.19 | -63.05 | 67.18 | 290 |
| B50R _{Ma} | 34.94 | 57.17 | -44.26 | 72.31 | 322 |
| N _{Ma} | 18.01 | 0.0 | 0.0 | 0.0 | 0 |
| W _{Ma} | 95.41 | 0.0 | 0.0 | 0.0 | 0 |
| R _{CIE} | 39.92 | 58.66 | 26.98 | 64.56 | 25 |
| J _{CIE} | 81.26 | -2.17 | 67.76 | 67.79 | 92 |
| G _{CIE} | 52.23 | -42.26 | 11.75 | 43.87 | 164 |
| B _{CIE} | 30.57 | 1.15 | -46.84 | 46.87 | 271 |

CIELAB-Helligkeit L^*

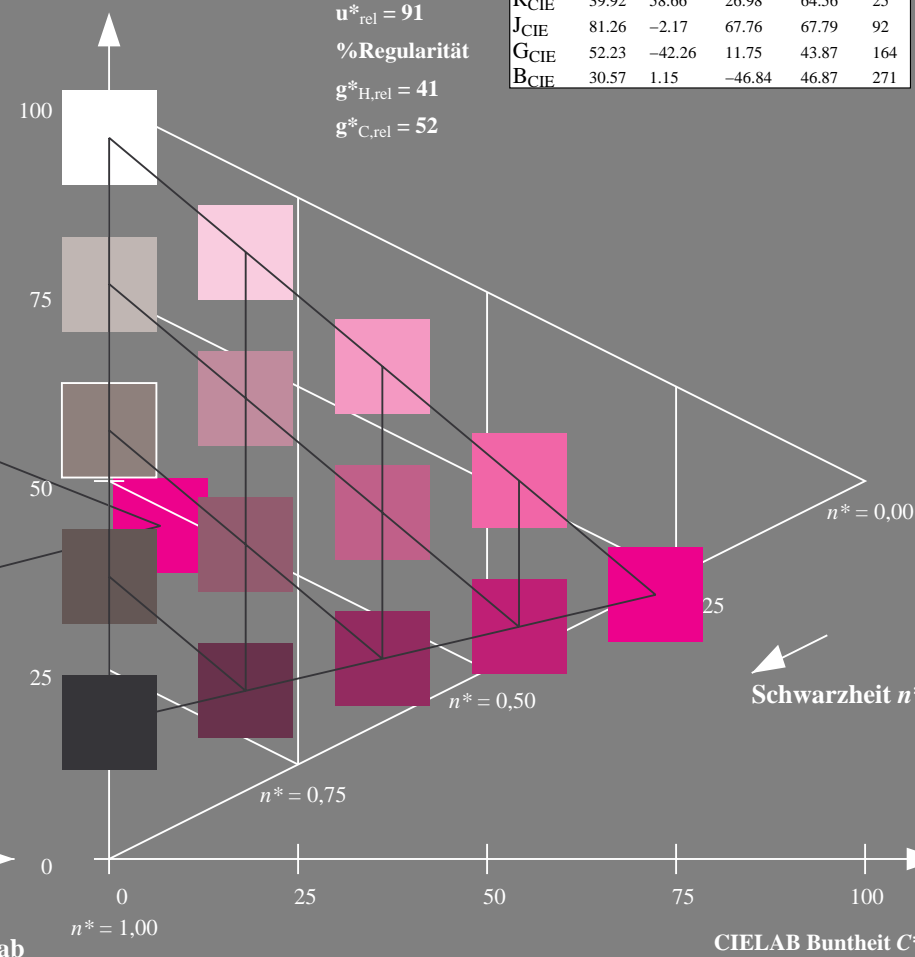
%Umfang

$u^*_{rel} = 91$

%Regularität

$g^*_{H,rel} = 41$

$g^*_{C,rel} = 52$



5 stufige Reihen für konstanten CIELAB Buntton 322/360 = 0.895 (rechts)

Input: cmy0* setcmykcolor

Output: no change compared to input

Eingabe: Farbmimetrisches Reflexions-System NCS11

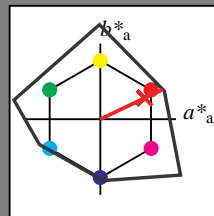
für Buntton $h^* = lab^*h = 25/360 = 0.071$

LAB*LCH, LAB*NCH

D65: Buntton R

LCH*Ma: 48 91 25

olv*Ma: 1.0 0.02 0.0



NCS11; adaptierte CIELAB-Daten

| | $L^*=L_a^*$ | a_a^* | b_a^* | $C_{ab,a}^*$ | $h_{ab,a}^*$ |
|--------------------|-------------|---------|---------|--------------|--------------|
| R _{Ma} | 47.15 | 84.64 | 37.25 | 92.48 | 24 |
| J _{Ma} | 91.37 | -1.27 | 125.03 | 125.03 | 91 |
| G _{Ma} | 63.07 | -114.28 | 25.35 | 117.06 | 167 |
| G50B _{Ma} | 59.47 | -80.6 | -33.45 | 87.28 | 203 |
| B _{Ma} | 49.01 | 3.65 | -81.19 | 81.28 | 273 |
| B50R _{Ma} | 44.06 | 106.09 | -73.93 | 129.32 | 325 |
| N _{Ma} | 10.99 | 0.0 | 0.0 | 0.0 | 0 |
| W _{Ma} | 95.41 | 0.0 | 0.0 | 0.0 | 0 |
| R _{CIE} | 39.92 | 58.69 | 27.98 | 65.01 | 25 |
| J _{CIE} | 81.26 | -2.9 | 71.56 | 71.62 | 92 |
| G _{CIE} | 52.23 | -42.45 | 13.59 | 44.59 | 162 |
| B _{CIE} | 30.57 | 1.35 | -46.48 | 46.51 | 272 |

CIELAB-Helligkeit L^*

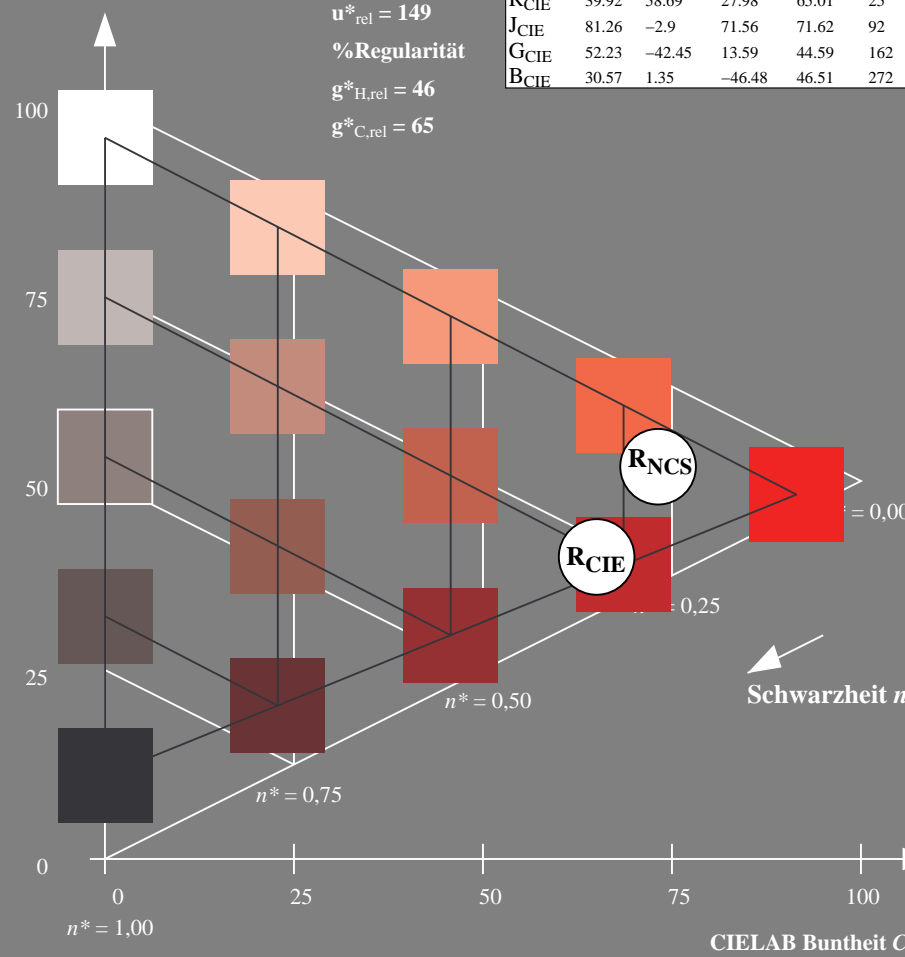
%Umfang

$u_{rel}^* = 149$

%Regularität

$g_{H,rel}^* = 46$

$g_{C,rel}^* = 65$



UG380-7, 5 stufige Reihen für konstanten CIELAB Buntton 25/360 = 0.071 (links)

Ausgabe: Farbmimetrisches Reflexions-System MRS18

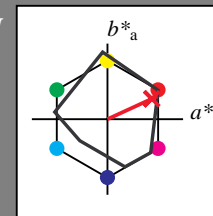
für Buntton $h^* = lab^*h = 25/360 = 0.069$

LAB*LCH, LAB*NCH

D65: Buntton R

LCH*Ma: 48 73 25

olv*Ma: 1.0 0.0 0.1



MRS18; adaptierte CIELAB-Daten

| | $L^*=L_a^*$ | a_a^* | b_a^* | $C_{ab,a}^*$ | $h_{ab,a}^*$ |
|--------------------|-------------|---------|---------|--------------|--------------|
| R _{Ma} | 49.63 | 66.96 | 38.37 | 77.18 | 30 |
| J _{Ma} | 90.7 | -6.36 | 88.75 | 88.98 | 94 |
| G _{Ma} | 52.11 | -69.73 | 9.44 | 70.37 | 172 |
| G50B _{Ma} | 45.03 | -36.57 | -28.47 | 46.36 | 218 |
| B _{Ma} | 36.65 | 23.19 | -63.05 | 67.18 | 290 |
| B50R _{Ma} | 34.94 | 57.17 | -44.26 | 72.31 | 322 |
| N _{Ma} | 18.01 | 0.0 | 0.0 | 0.0 | 0 |
| W _{Ma} | 95.41 | 0.0 | 0.0 | 0.0 | 0 |
| R _{CIE} | 39.92 | 58.66 | 26.98 | 64.56 | 25 |
| J _{CIE} | 81.26 | -2.17 | 67.76 | 67.79 | 92 |
| G _{CIE} | 52.23 | -42.26 | 11.75 | 43.87 | 164 |
| B _{CIE} | 30.57 | 1.15 | -46.84 | 46.87 | 271 |

CIELAB-Helligkeit L^*

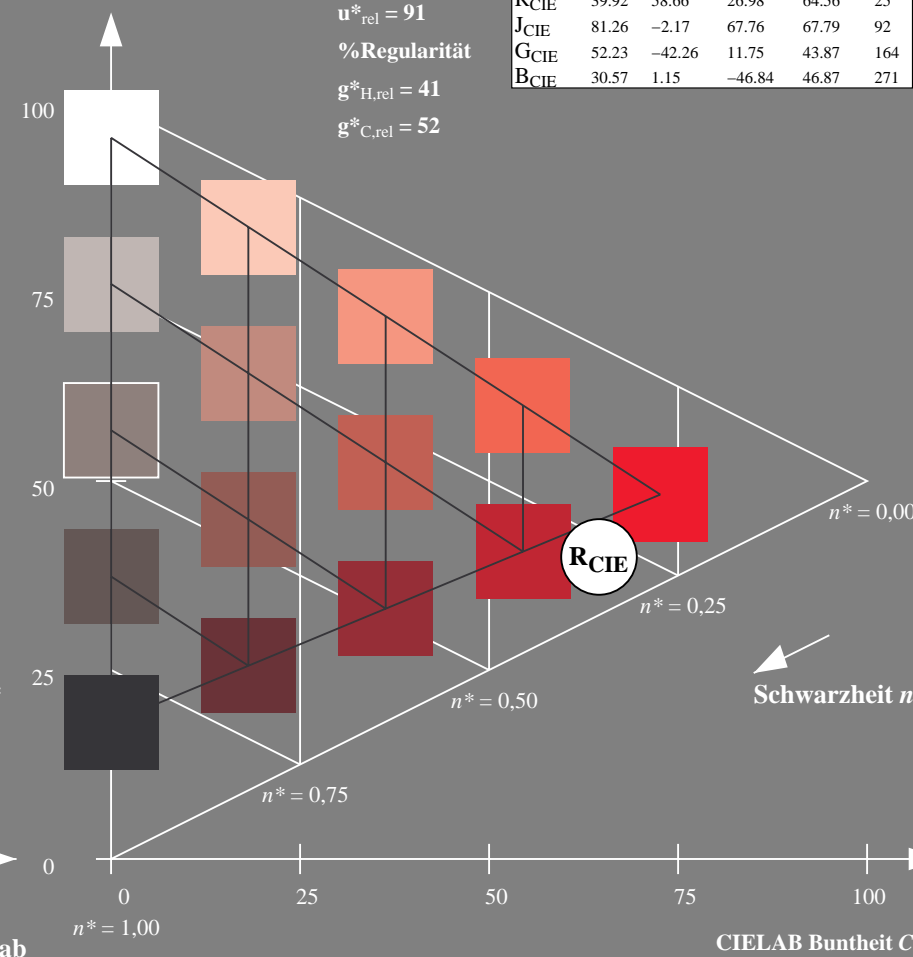
%Umfang

$u_{rel}^* = 91$

%Regularität

$g_{H,rel}^* = 41$

$g_{C,rel}^* = 52$



5 stufige Reihen für konstanten CIELAB Buntton 25/360 = 0.069 (rechts)

BAM-Prüfvorlage UG38; Farbmimetrische Systeme NCS11a & MRS18

D65: Koordinaten-Systeme von 5stufigen Farbreihen für 10 Bunttonen

Input: *cmymy0* setcmymy0* color*

Output: *no change compared to input*

Eingabe: Farbmétrisches Reflexions-System NCS11

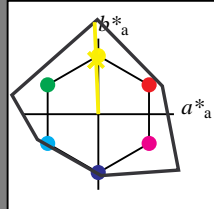
für Buntton $h^* = lab^*h = 92/360 = 0.256$

LAB*LCH, LAB*NCH

D65: Buntton J

LCH*Ma: 90 122 92

olv*Ma: 0.97 1.0 0.0



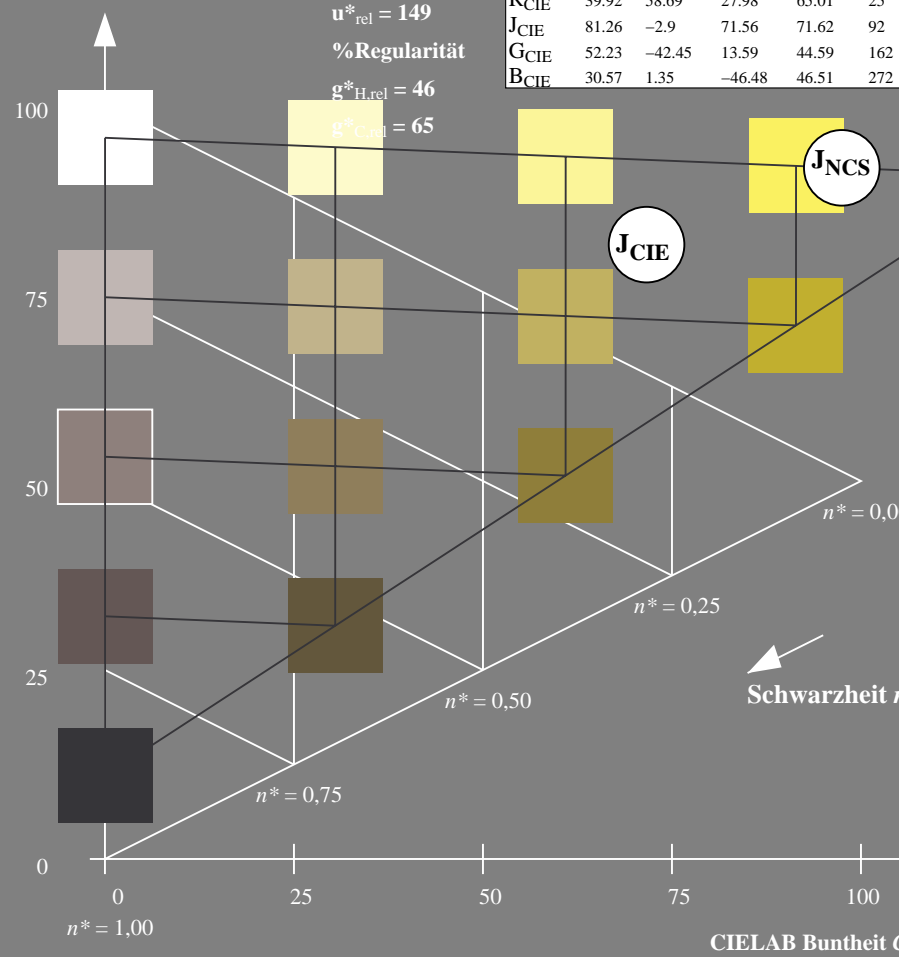
| NCS11; adaptierte CIELAB-Daten | | | | | |
|--------------------------------|---------------|---------|---------|--------------|--------------|
| | $L^* = L^*_a$ | a^*_a | b^*_a | $C^*_{ab,a}$ | $h^*_{ab,a}$ |
| R _{Ma} | 47.15 | 84.64 | 37.25 | 92.48 | 24 |
| J _{Ma} | 91.37 | -1.27 | 125.03 | 125.03 | 91 |
| G _{Ma} | 63.07 | -114.28 | 25.35 | 117.06 | 167 |
| G50B _{Ma} | 59.47 | -80.6 | -33.45 | 87.28 | 203 |
| B _{Ma} | 49.01 | 3.65 | -81.19 | 81.28 | 273 |
| B50R _{Ma} | 44.06 | 106.09 | -73.93 | 129.32 | 325 |
| N _{Ma} | 10.99 | 0.0 | 0.0 | 0.0 | 0 |
| W _{Ma} | 95.41 | 0.0 | 0.0 | 0.0 | 0 |
| R _{CIE} | 39.92 | 58.69 | 27.98 | 65.01 | 25 |
| J _{CIE} | 81.26 | -2.9 | 71.56 | 71.62 | 92 |
| G _{CIE} | 52.23 | -42.45 | 13.59 | 44.59 | 162 |
| B _{CIE} | 30.57 | 1.35 | -46.48 | 46.51 | 272 |

CIE LAB-Helligkeit L^*

%Umfang

$$\mathbf{u}_{\text{rel}}^* = 149$$

%Regularität

$$\mathbf{g}_{\text{H rel}}^* = 46$$
$$g^*_{C_{rel}} = 65$$


UG380–7, 5 stufige Reihen für konstanten CIELAB Buntton $92/360 = 0.256$ (links)

Ausgabe: Farbmetrisches Reflexions-System MRS18

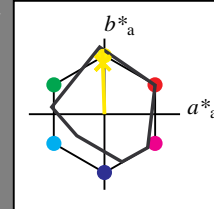
für Buntton $h^* = lab^*h = 92/360 = 0.255$

*LAB*LCH, LAB*NCH*

D65: Buntton J

LCH*Ma: 89 86 92

olv*Ma: 1.0 0.95 0.0



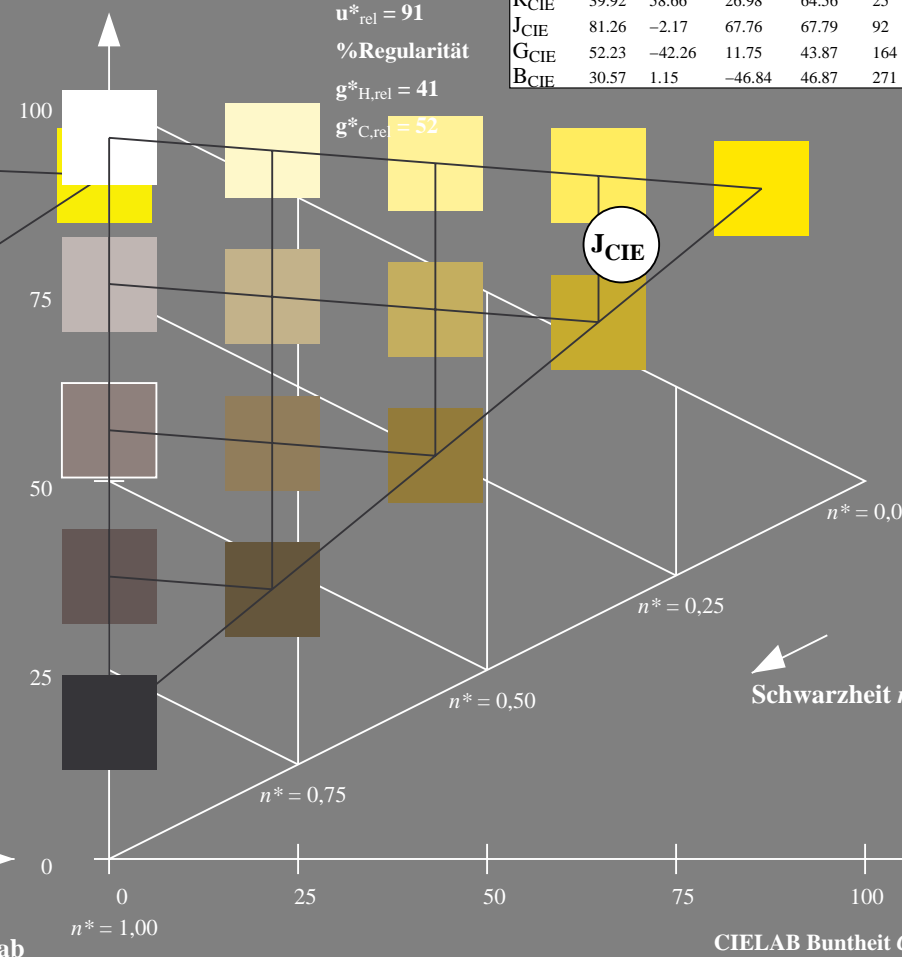
| MRS18; adaptierte CIELAB-Daten | | | | | |
|--------------------------------|------------|------------|------------|--------------|--------------|
| | L^*_{*a} | a^*_{*a} | b^*_{*a} | $C^*_{ab,a}$ | $h^*_{ab,a}$ |
| R _{Ma} | 49.63 | 66.96 | 38.37 | 77.18 | 30 |
| J _{Ma} | 90.7 | -6.36 | 88.75 | 88.98 | 94 |
| G _{Ma} | 52.11 | -69.73 | 9.44 | 70.37 | 172 |
| G50B _{Ma} | 45.03 | -36.57 | -28.47 | 46.36 | 218 |
| B _{Ma} | 36.65 | 23.19 | -63.05 | 67.18 | 290 |
| B50R _{Ma} | 34.94 | 57.17 | -44.26 | 72.31 | 322 |
| N _{Ma} | 18.01 | 0.0 | 0.0 | 0.0 | 0 |
| W _{Ma} | 95.41 | 0.0 | 0.0 | 0.0 | 0 |
| R _{CIE} | 39.92 | 58.66 | 26.98 | 64.56 | 25 |
| J _{CIE} | 81.26 | -2.17 | 67.76 | 67.79 | 92 |
| G _{CIE} | 52.23 | -42.26 | 11.75 | 43.87 | 164 |
| B _{CIE} | 30.57 | 1.15 | -46.84 | 46.87 | 271 |

CIELAB-Helligkeit L^*

%Umfang

$$\mathbf{u}_{\text{rel}}^* = \mathbf{91}$$

%Regularität

$$\mathbf{g}^*_{\text{H rel}} = 41$$
 $g^*_{C_{rel}} = 52$ 5 stufige Reihen für konstanten CIELAB Buntton $92/360 = 0.255$ (rechts)

BAM-Prüfvorlage UG38; Farbmimetrik-Systeme NCS11a & MRS18 Input: *cmy0* setcmykcolor*

D65: Koordinaten-Systeme von 5stufigen Farbreihen für 10 Bunttöne *no change compared to input*

Eingabe: Farbmimetrisches Reflexions-System NCS11

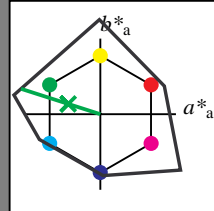
für Buntton $h^* = lab^*h = 162/360 = 0.451$

LAB*LCH, LAB*NCH

D65: Buntton G

LCH*Ma: 65 110 162

olv*Ma: 0.08 1.0 0.0



NCS11; adaptierte CIELAB-Daten

| | $L^*=L^*_a$ | a^*_a | b^*_a | $C^*_{ab,a}$ | $h^*_{ab,a}$ |
|--------------------|-------------|---------|---------|--------------|--------------|
| R _{Ma} | 47.15 | 84.64 | 37.25 | 92.48 | 24 |
| J _{Ma} | 91.37 | -1.27 | 125.03 | 125.03 | 91 |
| G _{Ma} | 63.07 | -114.28 | 25.35 | 117.06 | 167 |
| G50B _{Ma} | 59.47 | -80.6 | -33.45 | 87.28 | 203 |
| B _{Ma} | 49.01 | 3.65 | -81.19 | 81.28 | 273 |
| B50R _{Ma} | 44.06 | 106.09 | -73.93 | 129.32 | 325 |
| N _{Ma} | 10.99 | 0.0 | 0.0 | 0.0 | 0 |
| W _{Ma} | 95.41 | 0.0 | 0.0 | 0.0 | 0 |
| R _{CIE} | 39.92 | 58.69 | 27.98 | 65.01 | 25 |
| J _{CIE} | 81.26 | -2.9 | 71.56 | 71.62 | 92 |
| G _{CIE} | 52.23 | -42.45 | 13.59 | 44.59 | 162 |
| B _{CIE} | 30.57 | 1.35 | -46.48 | 46.51 | 272 |

CIELAB-Helligkeit L^*

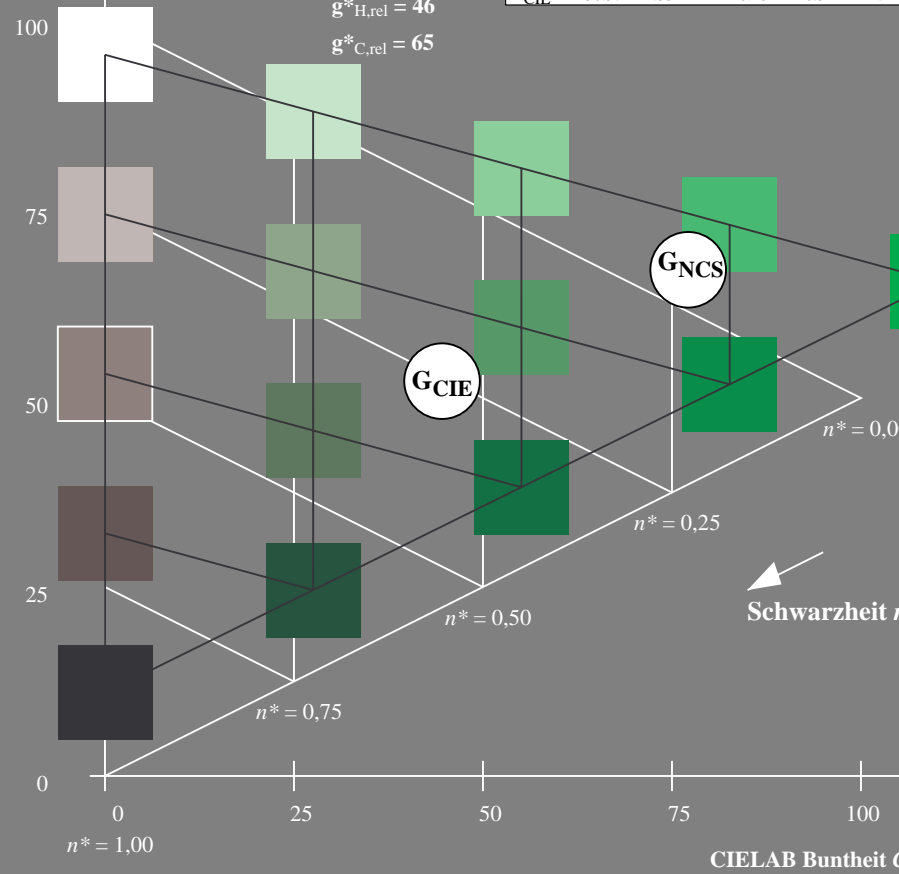
%Umfang

$u^*_{rel} = 149$

%Regularität

$g^*_{H,rel} = 46$

$g^*_{C,rel} = 65$



UG380-7, 5 stufige Reihen für konstanten CIELAB Buntton $162/360 = 0.451$ (links)

Ausgabe: Farbmimetrisches Reflexions-System MRS18

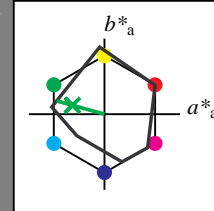
für Buntton $h^* = lab^*h = 164/360 = 0.457$

LAB*LCH, LAB*NCH

D65: Buntton G

LCH*Ma: 56 66 164

olv*Ma: 0.1 1.0 0.0



MRS18; adaptierte CIELAB-Daten

| | $L^*=L^*_a$ | a^*_a | b^*_a | $C^*_{ab,a}$ | $h^*_{ab,a}$ |
|--------------------|-------------|---------|---------|--------------|--------------|
| R _{Ma} | 49.63 | 66.96 | 38.37 | 77.18 | 30 |
| J _{Ma} | 90.7 | -6.36 | 88.75 | 88.98 | 94 |
| G _{Ma} | 52.11 | -69.73 | 9.44 | 70.37 | 172 |
| G50B _{Ma} | 45.03 | -36.57 | -28.47 | 46.36 | 218 |
| B _{Ma} | 36.65 | 23.19 | -63.05 | 67.18 | 290 |
| B50R _{Ma} | 34.94 | 57.17 | -44.26 | 72.31 | 322 |
| N _{Ma} | 18.01 | 0.0 | 0.0 | 0.0 | 0 |
| W _{Ma} | 95.41 | 0.0 | 0.0 | 0.0 | 0 |
| R _{CIE} | 39.92 | 58.66 | 26.98 | 64.56 | 25 |
| J _{CIE} | 81.26 | -2.17 | 67.76 | 67.79 | 92 |
| G _{CIE} | 52.23 | -42.26 | 11.75 | 43.87 | 164 |
| B _{CIE} | 30.57 | 1.15 | -46.84 | 46.87 | 271 |

CIELAB-Helligkeit L^*

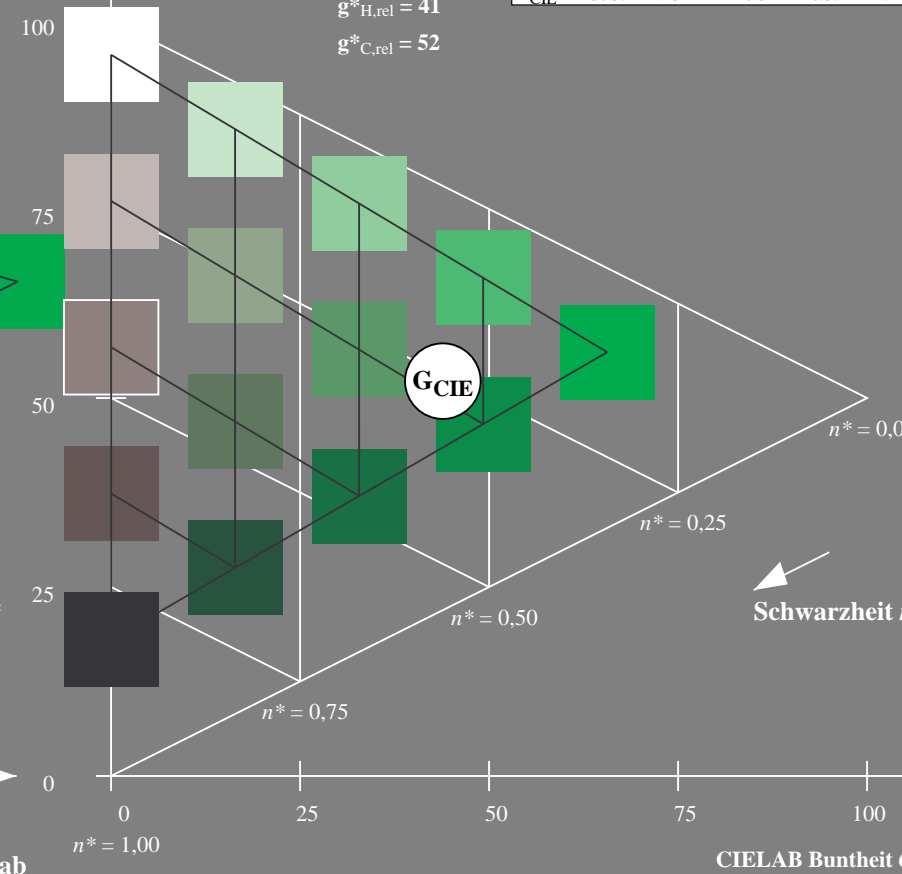
%Umfang

$u^*_{rel} = 91$

%Regularität

$g^*_{H,rel} = 41$

$g^*_{C,rel} = 52$



5 stufige Reihen für konstanten CIELAB Buntton $164/360 = 0.457$ (rechts)

BAM-Prüfvorlage UG38; Farbmimetrische Systeme NCS11a & MRS18

D65: Koordinaten-Systeme von 5stufigen Farbreihen für 10 Buntton

Input: $cmY0^* setcmykcolor$

Output: no change compared to input

Eingabe: Farbmimetrisches Reflexions-System NCS11

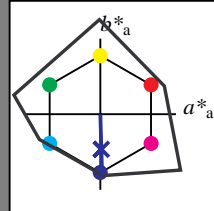
für Buntton $h^* = lab \cdot h = 272/360 = 0.755$

LAB*LCH, LAB*NCH

D65: Buntton B

LCH*Ma: 49 80 272

olv*Ma: 0.0 0.02 1.0



NCS11; adaptierte CIELAB-Daten

| | $L^*=L^*_a$ | a^*_a | b^*_a | $C^*_{ab,a}$ | $h^*_{ab,a}$ |
|--------------------|-------------|---------|---------|--------------|--------------|
| R _{Ma} | 47.15 | 84.64 | 37.25 | 92.48 | 24 |
| J _{Ma} | 91.37 | -1.27 | 125.03 | 125.03 | 91 |
| G _{Ma} | 63.07 | -114.28 | 25.35 | 117.06 | 167 |
| G50B _{Ma} | 59.47 | -80.6 | -33.45 | 87.28 | 203 |
| B _{Ma} | 49.01 | 3.65 | -81.19 | 81.28 | 273 |
| B50R _{Ma} | 44.06 | 106.09 | -73.93 | 129.32 | 325 |
| N _{Ma} | 10.99 | 0.0 | 0.0 | 0.0 | 0 |
| W _{Ma} | 95.41 | 0.0 | 0.0 | 0.0 | 0 |
| R _{CIE} | 39.92 | 58.69 | 27.98 | 65.01 | 25 |
| J _{CIE} | 81.26 | -2.9 | 71.56 | 71.62 | 92 |
| G _{CIE} | 52.23 | -42.45 | 13.59 | 44.59 | 162 |
| B _{CIE} | 30.57 | 1.35 | -46.48 | 46.51 | 272 |

CIELAB-Helligkeit L^*

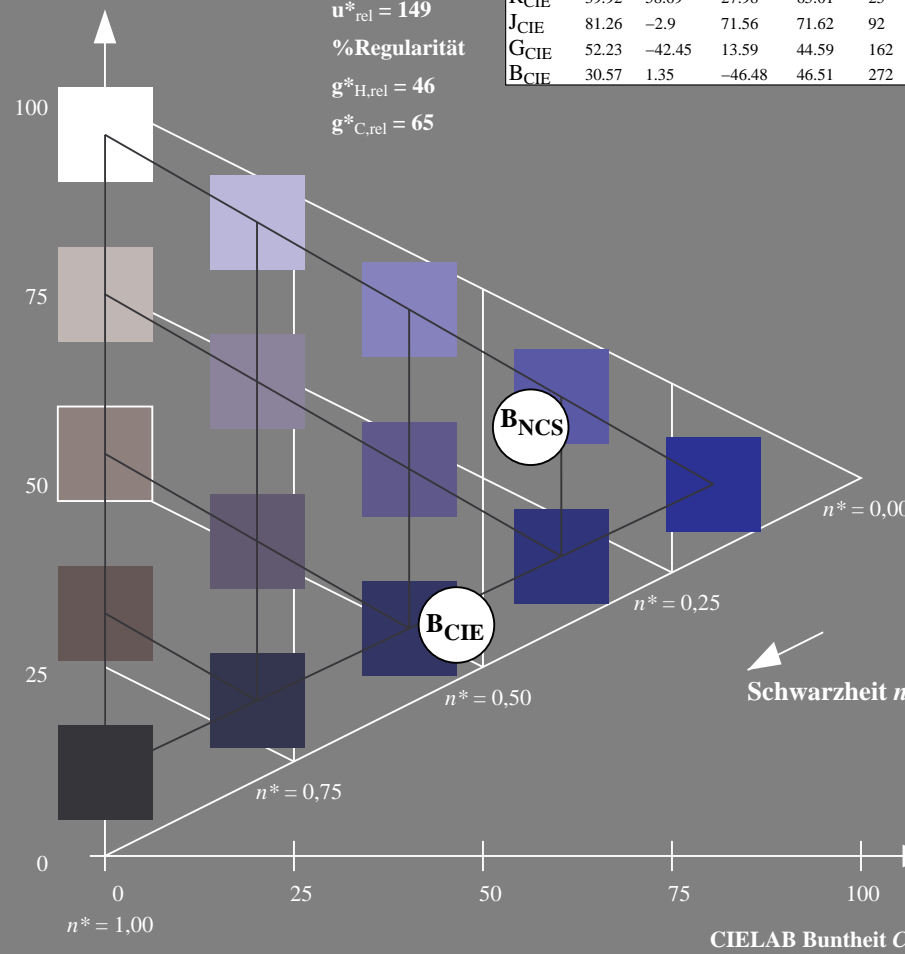
%Umfang

$u^*_{rel} = 149$

%Regularität

$g^*_{H,rel} = 46$

$g^*_{C,rel} = 65$



UG380-7, 5 stufige Reihen für konstanten CIELAB Buntton $272/360 = 0.755$ (links)

Ausgabe: Farbmimetrisches Reflexions-System MRS18

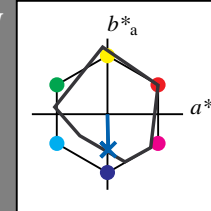
für Buntton $h^* = lab \cdot h = 271/360 = 0.754$

LAB*LCH, LAB*NCH

D65: Buntton B

LCH*Ma: 40 50 271

olv*Ma: 0.0 0.37 1.0



MRS18; adaptierte CIELAB-Daten

| | $L^*=L^*_a$ | a^*_a | b^*_a | $C^*_{ab,a}$ | $h^*_{ab,a}$ |
|--------------------|-------------|---------|---------|--------------|--------------|
| R _{Ma} | 49.63 | 66.96 | 38.37 | 77.18 | 30 |
| J _{Ma} | 90.7 | -6.36 | 88.75 | 88.98 | 94 |
| G _{Ma} | 52.11 | -69.73 | 9.44 | 70.37 | 172 |
| G50B _{Ma} | 45.03 | -36.57 | -28.47 | 46.36 | 218 |
| B _{Ma} | 36.65 | 23.19 | -63.05 | 67.18 | 290 |
| B50R _{Ma} | 34.94 | 57.17 | -44.26 | 72.31 | 322 |
| N _{Ma} | 18.01 | 0.0 | 0.0 | 0.0 | 0 |
| W _{Ma} | 95.41 | 0.0 | 0.0 | 0.0 | 0 |
| R _{CIE} | 39.92 | 58.66 | 26.98 | 64.56 | 25 |
| J _{CIE} | 81.26 | -2.17 | 67.76 | 67.79 | 92 |
| G _{CIE} | 52.23 | -42.26 | 11.75 | 43.87 | 164 |
| B _{CIE} | 30.57 | 1.15 | -46.84 | 46.87 | 271 |

CIELAB-Helligkeit L^*

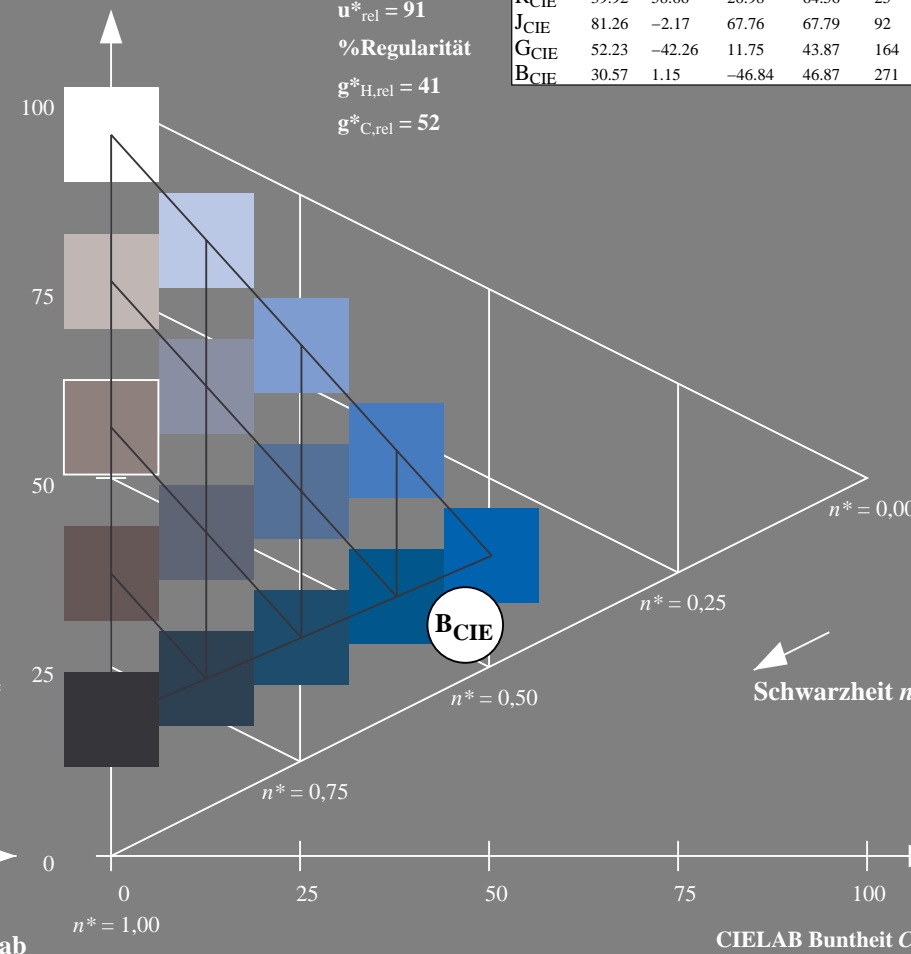
%Umfang

$u^*_{rel} = 91$

%Regularität

$g^*_{H,rel} = 41$

$g^*_{C,rel} = 52$



5 stufige Reihen für konstanten CIELAB Buntton $271/360 = 0.754$ (rechts)

BAM-Prüfvorlage UG38; Farbmimetrische Systeme NCS11a & MRS18

D65: Koordinaten-Systeme von 5stufigen Farbreihen für 10 Bunttonen
Input: $cmY^0 \cdot setcmykcolor$
Output: no change compared to input